

## Список литературы

- [1] Rau C., Eichner S. // Phys. Rev. Lett. 1981. V. 47. P. 939.
- [2] Кесслер Н. Поляризованные электроны. М.: Мир. 1988.
- [3] Борман В.Д., Бутцев Б.И., Николаев Б.И., Троян В.И. // ЖЭТФ. Т. 73. С. 200.
- [4] Борман В.Д., Максимов Л.А., Николаев Б.И., Троян В.И. // ЖЭТФ. 1973. Т. 64. С. 526.  
Борман В.Д., Бутцев Б.И., Крылов С.Ю., Николаев Б.И., Троян В.И. // ЖЭТФ. 1976. Т. 70. С. 929.
- [5] Борман В.Д., Бутцев Б.И., Николаев Б.И., Попов В.А., Троян В.И. // ЖЭТФ. 1979. Т. 77. С. 2297.
- [6] Паташинский А.З., Покровский В.Л. Флуктуационная теория фазовых переходов. М.: Наука. 1982.

Поступило в Редакцию  
29 января 1989 г.

Письма в ЖТФ, том 15, вып. 6  
01; 03; 07; 08

26 марта 1989 г.

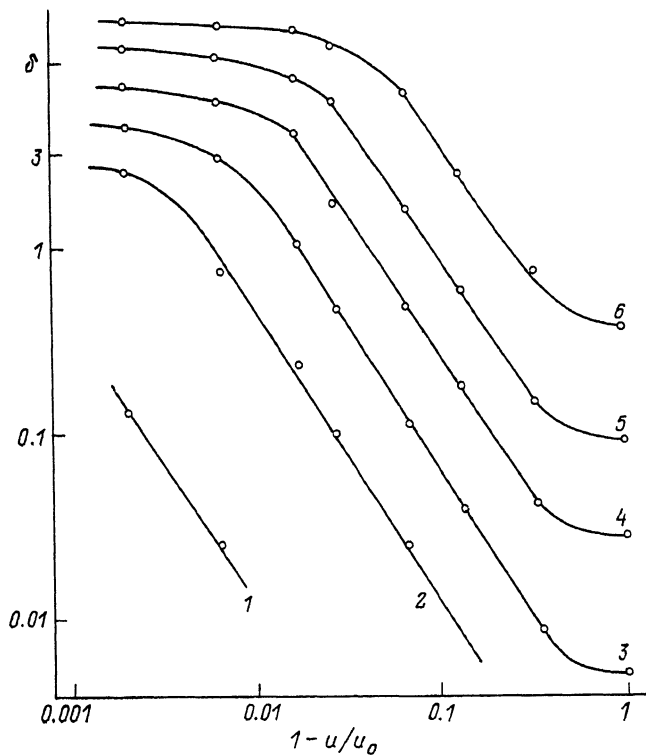
АКУСТООПТИЧЕСКИЙ ЭФФЕКТ В НЖК  
В ОКРЕСТНОСТИ ПОРОГА ПЕРЕХОДА ФРЕДЕРИКСА

Ю.В. Бочаров, А.Д. Вужва

Недавно в [1] был исследован нелинейный режим течения нематического жидкого кристалла (НЖК) в электрическом поле. В настоящей работе этот режим использован для визуализации акустических потоков, что позволило существенно (на два порядка) повысить чувствительность акустооптического преобразования.

Поверхностная акустическая волна (ПАВ) с частотой 6.44 МГц возбуждалась в пьезоэлектрической подложке при помощи встречно-штыревого преобразователя. На подложку было нанесено алюминиевое покрытие, служащее отражающим слоем для зондирующего света и электродом. Второй электрод (оптически прозрачный слой  $SnO_2$ ) был нанесен на стеклянную пластину. Гомеотропно ориентированный слой НЖК марки Н-8 толщиной 40 мкм был помещен между подложкой и пластиной. На электроды подавалось переменное напряжение с частотой 50 Гц. В качестве зондирующего использовался луч света Не-Ne лазера ( $\lambda = 0.633$  мкм). Плоскость поляризации луча составляла угол  $45^\circ$  с направлением распространения ПАВ.

На рисунке представлена зависимость разности фаз обыкновенного и необыкновенного лучей, прошедших через слой НЖК,  $\delta$  от



Зависимость разности фаз  $\delta$  от относительного отклонения электрического напряжения  $u$  от порогового  $u_0$ .

относительного отклонения электрического напряжения  $u$  от порогового  $u_0 = 4.63$  В, соответствующего переходу Фредерикса. Амплитуда ПАВ  $\xi$  определялась по дифракции света на отражающем слое подложки. Кривые 1-6 соответствуют амплитудам: 1 - 0.5 Å, 2 - 1.3 Å, 3 - 2 Å, 4 - 2.9 Å, 5 - 4 Å, 6 - 6 Å. Линейные наклонные участки кривых описываются зависимостью  $\delta \sim (1 - \frac{u}{u_0})^{-2}$ .

На возможность критического поведения порога акустооптического эффекта у перехода Фредерикса указывалось в [2], однако использованная в этой работе модель Хельфриха взаимодействия акустической волны с НЖК не дает даже качественного согласия с экспериментальными результатами. Мы воспользуемся хорошо описывающей эксперимент моделью акустических потоков [3].

Уравнение для угла отклонения директора  $\theta \ll 1$  имеет вид

$$\frac{\partial^2 \theta}{\partial z^2} + k_E^2 (\theta - \frac{2}{3} \theta^3) = 3\varphi(1-\theta^2) k_0^2 \cos 2k_0 z, \quad (1)$$

где

$$k_E^2 = \frac{|\varepsilon_a|}{4\pi} \cdot \frac{E^2}{K_3}, \quad k_0 = \frac{\pi}{h}, \quad \varphi = \frac{2}{3\pi} \frac{\alpha_2}{K_3} V_0 h,$$

$\varepsilon_\alpha$  – анизотропия диэлектрической проницаемости,  $E$  – напряженность электрического поля,  $\alpha_2$  – постоянная Лесли,  $K_3$  – упругий модуль,  $h$  – толщина слоя НЖК. Ось  $z$  направлена по нормали к слою.

Мы рассматриваем первые пространственные гармоники акустического потока

$$V = V_0 \sin 2k_0 z \quad (2)$$

и угла отклонения директора

$$\theta = \varphi \left( \frac{k_0}{k_E} \right)^2 \cdot \left( \cos 2k_0 z - \cos k_0 z - \operatorname{tg} \frac{kh}{2} \cdot \sin k_0 z \right), \quad (3)$$

удовлетворяющие условиям

$$V(0) = V(h) = 0, \quad \int_0^h V dz = 0, \quad \theta(0) = \theta(h) = 0. \quad (4)$$

Методика расчета акустических потоков, возникающих при воздействии ПАВ, описана в [3]. Для нас важно, что  $V_0 \sim \xi^2$ .

Уравнение для волнового вектора  $k$  имеет вид

$$k_E^2 - k^2 = \varphi^2 \frac{k_E^2}{2 \cos^2 \frac{kh}{2}}. \quad (5)$$

Вблизи перехода Фредерикса  $\frac{\Delta E}{E_0} \ll 1$  ( $\Delta E = E_0 - E$ )

$$\delta = \frac{4\pi \Delta n h}{\lambda} \left( \frac{\varphi}{\pi} \right)^2 \left( \frac{E_0}{\Delta E} \right)^2 \sim \xi^4 \left( 1 - \frac{U}{U_0} \right)^{-2}, \quad (6)$$

где  $\Delta n$  – анизотропия показателя преломления. При выполнении условия  $\frac{\Delta E}{E_0} < \left( \frac{\varphi}{\pi} \right)^{2/3}$  реализуется режим аналогичный исследованному в [1]. В этом случае

$$\delta = \frac{4\pi \Delta n h}{\lambda} \left( \frac{\varphi}{\pi} \right)^{2/3} \sim \xi^{4/3}, \quad (7)$$

что хорошо описывает экспериментальные данные.

# Список литературы

- [1] Бочаров Ю.В., Вужва А.Д. // Письма в ЖТФ. 1988. Т. 14. № 16. С. 1460-1462.
- [2] Акопян Р.С., Алавердян Р.Б., Чилингариан Ю.С. // Письма в ЖТФ. 1986. Т. 12. № 14. С. 858-862.
- [3] Miyamoto K., Shen Y.R. // Appl. Phys. Lett. 1976. V. 28. N 9. P. 473-475.

Акустический институт  
им. Н.Н. Андреева,  
Москва

Поступило в Редакцию  
16 февраля 1989 г.

Письма в ЖТФ, том 15, вып. 6  
01; 03; 04

26 марта 1989 г.

## КИНЕТИКА ОБРАЗОВАНИЯ ОЗОНА И ОКИСЛОВ АЗОТА ПРИ ИМПУЛЬСНОМ СВЧ РАЗРЯДЕ В ВОЗДУХЕ

В.Ф. Ларин, С.А. Румянцев

Электрический разряд в кислороде приводит к диссоциации молекул и практически полной конверсии образованного атомарного кислорода, в озон [1]. В воздухе, кроме кислорода диссоциирует азот, приводя к образованию окислов азота, разрушающих озон. Лабораторные эксперименты, в которых разряд в воздухе осуществлялся длительной последовательностью мощных СВЧ импульсов, показывают, что при этом производство окислов азота превалирует над образованием озона [2], и ставят вопрос об оптимизации параметров воздействующего импульса и состояния газа, направленной на увеличение выхода озона и уменьшение - окислов азота. Актуальность вопроса обусловлена многолетним уменьшением содержания озона в атмосфере [3] и необходимостью исследования возможностей его искусственного воспроизведения.

В данной работе выполнено численное моделирование кинетики плазмохимических процессов в разряде, вызванном одиночным СВЧ импульсом в воздухе на высотах стратосферы. Резкое различие в характерных временах процессов при СВЧ разряде позволяет разделить задачу на три этапа. На первом этапе импульс первичного пробоя, для которого выполняются оптимальные условия ионизации [4] (частота волны  $f = 10$  ГГц для высоты 30 км, амплитуда электрического поля  $E_1 \approx 5 E_k$ ,  $E_k$  - критическое поле пробоя), за время  $\sim 10^{-8}$  с создает концентрацию электронов около 10% от критической концентрации  $n_c$  для частоты  $f$  [4]:  $n_e = 10^{11} \text{ см}^{-3} \approx 0.1 n_c$ . На втором этапе созданная ионизированная область подвергается воздействию поддерживающего СВЧ импульса